

بررسی تحلیلی و تجربی گسیختگی بنایها تحت تأثیر برش (بارگذاری برشی ناشی از زلزله در ساختمانهای روستایی)

جمال عبداللهی علی‌بیک

کارشناسی ارشد

گروه مهندسی آبیاری، دانشگاه تهران

چکیده

مقاومت برشی نهایی در ارتباط با عملکرد دیوارهای بنایی مقاوم در برابر بارگذاریهای جانبی ناشی از زلزله، از اهمیت ویژه‌ای برخوردار است. زمانی که بارگذاری افقی در صفحه دیوار بنایی و به موازات بستر درزها ایجاد شود، گسیختگی در دیوار به صورت برش افقی در محل تماس آجر و ملات و یا به صورت کشن قطعی حادث می‌گردد. (مقاومت بنایی‌ها به برش افقی به موازات افزایش بارگذاری عمودی بین آجر و ملات، افزایش می‌یابد). اصولاً در بنایها پیوستگی برشی به صورت طبیعی مستقل از مقاومت ملات بوده و آجرهای سوارخ دار به واسطه ایجاد کلیدهای برشی مکانیکی با ملات، لاقل در حالتی که فشار عمودی زیاد نیست، مقاومت برشی را افزایش می‌دهند.

در حالتی که فشار عمودی به میزان زیادتری وجود داشته باشد، معمولاً گسیختگی به صورت کشن قطعی بروز می‌کند که در این صورت اثر کلیدهای فوق چندان با اهمیت نیست.

کلمات کلیدی

دیوار بنایی - گسیختگی پیوستگی برشی - کشن قطعی - مقاومت برشی - کلید برشی - نقش برشی - فولادگذاری - بارگذاری جانبی.

Analytical and Experimental Investigation on Failur of Masonries Under Shear Loading.

J. Abdollahi

M. Sc.

Department of Irrigation Engineering, Faculty of Agriculture,
University of Tehran

Abstract

Ultimate shear strength in earthquake resistant masonry walls has especial importance. Horizontal loading in masonry walls (parallel to the Joints) causes horizontal shear failure between mortar and brick or diagonal tension failur. In masonry, shear connection naturally is independent of mortar strength, but perforated bricks because of mechanical shear keys with mortar, cause increase in shear strength (at least in case of low vertical pressure on masonry). Masonry strength against horizontal shear failur, would increase directly with vertical loading on brick and mortar. So in the case of high vertical pressure, failure is due to diagonal tension and above the key effects they are not very significant.

Keywords

Masonry wall, Shear connection failure, Diagonal tension, Shear strength, Joint, Shear key, Shear stress, Reinforcing, Lateral loading.

مقدمه

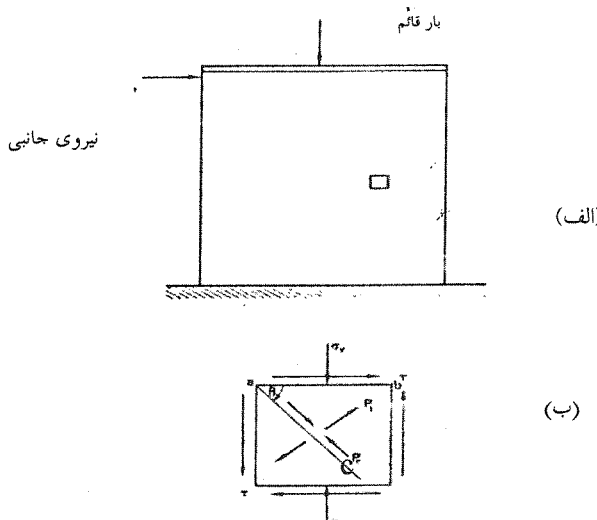
محاسبات ساختارهای فولادی و تا حدودی بتنی در مقایسه با بناییها به مراتب عملی‌تر و ساده‌تر می‌باشد. بدین علت که می‌توان برای مصالح فولاد و تا حدودی بتن الگوی تحلیلی مناسب با فرض همگن بودن این مصالح ارائه نمود. ولی در مورد بناییها به دلیل تشکیل آنها از مصالح گوناگون از جمله آجر و ملات (و به صورت غیرهمگن)، عملان نمی‌توان برای آنها الگوی ریاضی مشخص و معینی در مقایسه با فولاد و بتن در نظر گرفت. بنابراین برای بررسی عملکرد بناییها تحت تأثیر تلاشهای گوناگون، ضرورت بهره‌گیری از آزمایش به مراتب بیشتر از مصالح بتن و یا فولاد است. در این مقاله ضمن بررسی تئوری عملکرد بناییها تحت تأثیر تلاشهای برشی، آزمایشاتی نیز در در آن راستا انجام یافته و نتایج آن بحث و بررسی شده است.

۱- مقاومت بناییها تحت تأثیر برش (تئوری گسیختگی بناییها تحت تأثیر برش) [4,5]

اگر دیواری به صورت قائم بارگذاری شده و همزمان در معرض نیروی جانبی P مطابق شکل (۱-الف) باشد، در اثر نیروهای خارجی، جزء سطحی از دیوار که بزرگ شده آن در شکل (۱-ب) نشان داده شده است، تحت تأثیر تنش قائم σ_y و تنش برشی τ_b قرار می‌گیرد. در این حالت به دلیل عملکرد همزمان و توأم σ_y و τ_b گسیختگی دیوار در یکی از حالت‌های دوگانه زیر اتفاق می‌افتد.

۱- گسیختگی پیوستگی برش افقی در صفحه بستر ملات در درزها

۲- گسیختگی در اثر کشش قطری در آجر یا در ملات



شکل (۱).

الف - دیوار بارگذاری شده با نیروهای قائم و جانبی.

ب - وضعیت تنشهای قائم و مماس در یک جزء سطح از دیوار.

در حالت اول مقاومت در برابر گسیختگی پیوستگی برشی از رابطه زیر بدست می‌آید:

$$\tau_b = V_{b0} + \mu \sigma_y \quad (1)$$

که:

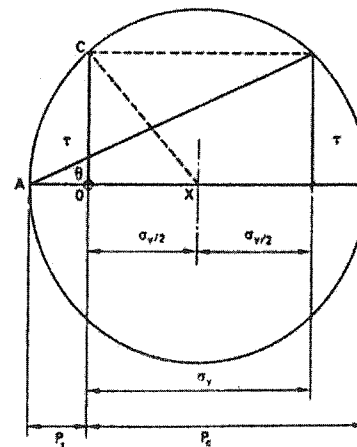
τ_b = تنش برشی در هنگام گسیختگی پیوستگی برشی

V_{b0} = مقاومت پیوستگی برشی (ناشی از مقاومت پیوستگی ملات و آجر)، هنگامی که میزان پیش‌فشار برابر صفر باشد.

μ = ضریب اصطکاک بین آجر و ملات

در حالت دوم گسیختگی کششی قطعی در اثر تنشهای ناشی از عملکرد همزمان و توأم تنشهای قائم σ_y و برش τ ، ایجاد می‌شود. در این حالت مقدار و امتداد تنش کششی از دایره مور بدست می‌آید. شکل (۲) یک دایره مور را نشان می‌دهد، که در رابطه با تنشهای مؤثر روی جزء سطح دیوار در شکل (۱-ب) رسم شده است. همان‌گونه که در شکل ملاحظه می‌شود، تنشهای σ_y و τ ، تنش اصلی فشاری بزرگ P_t و تنش اصلی کششی کوچک P_c را ایجاد می‌کنند. در واقع هر صفحه در جزء سطح دیوار به وسیله یک نقطه روی دایره مور نشان داده می‌شود و زاویه θ در دایره مور نشان‌گر شبیه صفحه تنش اصلی کششی، P_t (تنش کششی قطعی)، نسبت به صفحه ab که تنش σ_y بر آن اثر می‌کند، می‌باشد. روابط زیر با توجه به دایره مور بدست می‌آید:

$$AO = AX - OX = CX - OX = \sqrt{OX^2 + OC^2} - OX$$



شکل (۲) دایره مور (Mohr's circle) برای تنشهای نشان داده شده در شکل (۱-ب).

یا

$$P_t = \sqrt{\left(\frac{\sigma_y}{2}\right)^2 + \tau^2} - \frac{\sigma_y}{2} \quad (2)$$

اگر τ تنش برشی متناظر با گسیختگی کششی قطعی بوده و σ_y نشان‌گر مقاومت کششی بنایی عمود بر صفحه ac در شکل (۱-ب)، (P_t) باشد، روابط زیر با توجه به معادله (۲) بدست می‌آید:

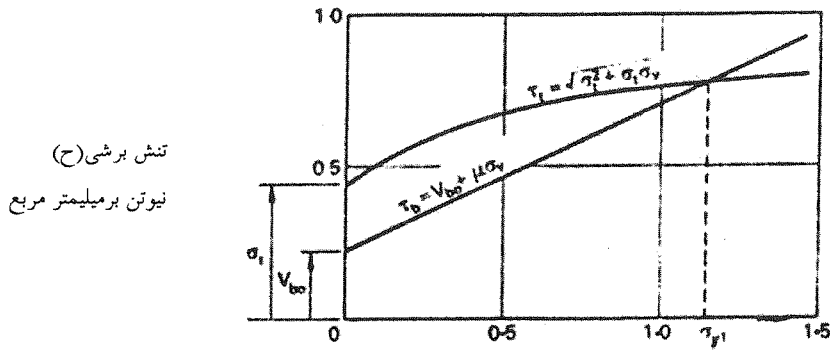
$$\left(\frac{\sigma_y}{2}\right)^2 + \tau_t^2 = \left(\frac{\sigma_y}{2}\right)^2 + \sigma_t \sigma_y + \sigma_t^2$$

و

$$\tau_t = \sqrt{\sigma_t^2 + \sigma_t \cdot \sigma_y} \quad (3)$$

در حالتی که $\sigma_y = 0$ باشد، $\sigma_t = \tau_t = 45^\circ$ خواهد بود. و برای دیگر مقادیر σ_y زاویه θ تغییر خواهد نمود. برای تعیین σ_y مناسبترین راه اجرا کردن آزمایش دو نیم کردن (شکافتن) روی صفحه دایره‌های بنایی می‌باشد.

شکل (۳) تغییرات τ_t و σ_t را با σ_y برای مقادیر مشخص V_{b0} و V_b نشان می‌دهد. برای مقادیر $\sigma_{y1} < \sigma_y < \sigma_{t1}$ و $V_{b0} < V_b < V_{t1}$ گسیختگی مورد انتظار به صورت گسیختگی پیوستگی برشی و برای مقادیر $\sigma_{y1} < \sigma_y < \sigma_{t1}$ به صورت گسیختگی کششی قطعی رخ خواهد داد.



پیش فشار (σ_y)

نیوتن بر میلیمتر مربع

شکل (۳) تأثیر پیش فشار بر مقاومت برشی بنایی.

۲- آزمایشات انجام شده برای تعیین مقاومت برشی بناییها

برای ساختن نمونه‌های مربوط به آزمایش مقاومت برشی از آجرهای ماشینی سوراخ دار استفاده گردیده و جهت بالابردن مقاومت برشی بنایی از فولادگذاری افقی در درزها بهره‌گرفته شده است. همچنین به منظور استفاده از ملات با مقاومت مناسب، نسبت اختلاط حجمی ملات ماسه سیمان مصرفي، یک به سه انتخاب شده است.

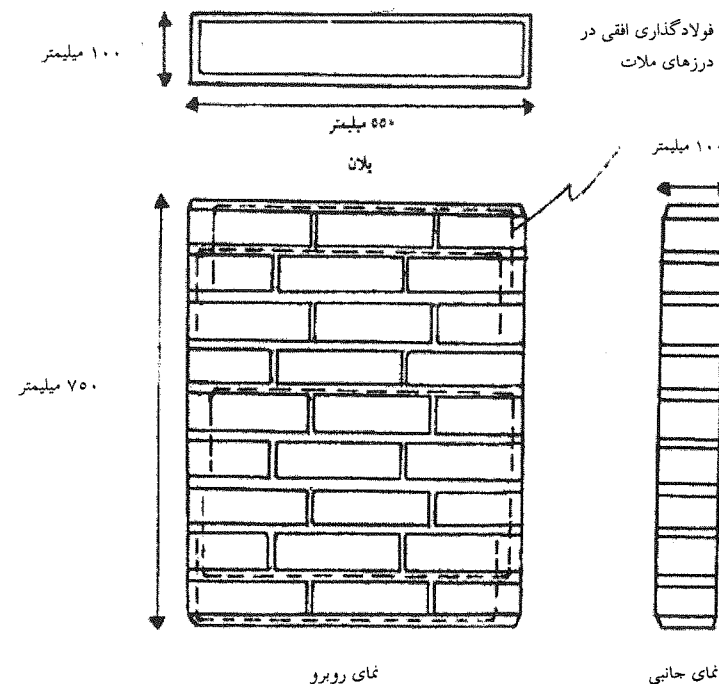
برای انجام آزمایش از نمونه‌هایی به شرح زیر با عملآوری مناسب و پس از گذشت ۲۸ روز از عمر آنها استفاده گردیده است.

مطابق شکل (۴)، نمونه‌ها با عرض ۵۵۰ میلیمتر یا ۲/۵ آجر و به ضخامت ۱۰۰ میلیمتر و با ارتفاع ۷۵۰ میلیمتر ساخته شده و تعداد رجهای نمونه با توجه به فولادگذاری در درزهای ملات (و در نتیجه افزایش ضخامت درزها)، برابر ۱۱ رج در نمونه‌های غیرملح و ۱۰ رج در نمونه‌های مسلح با میلگردهای نازک و ۹ رج در نمونه‌های مسلح با میلگردهای ضخیم‌تر بوده است.

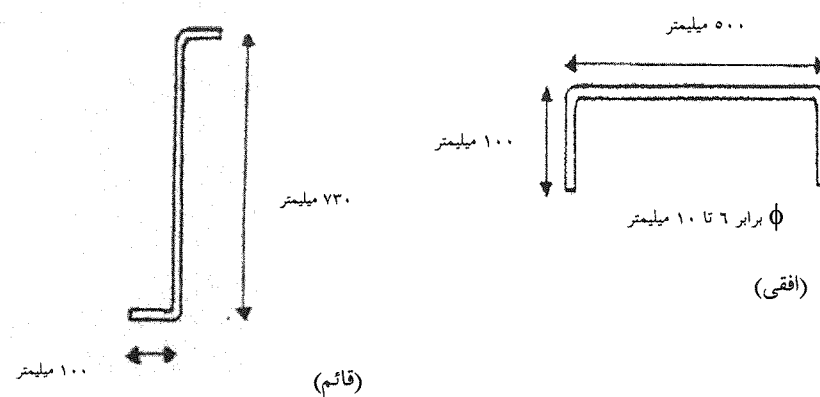
برای تسليح نمونه‌ها از میلگردهای با قطرهای گوناگون و از انواع ساده و آجدار استفاده گردیده و جهت ایجاد درگیری و مهاری لازم مطابق شکل (۵) میلگردها با زاویه ۹۰ درجه در انتهای خم گردیده و قسمت خم از سوراخ آجرها عبور داده شده است، در مورد همه نمونه‌ها چه مسلح و چه غیرمسلح سعی شده است که سوراخ آجرها و همچنین اطراف میلگردهای داخل سوراخ با دقت و به گونه‌ای مناسب از ملات پر شود، تا پیوستگی لازم بین فولاد و ملات به منظور عملکرد مناسب فولاد، فراهم آید.

جايگذاري ميلگردها در تمامي درزها يك نمونه به منظور حفظ يکنواختي آن نمونه و جلوگيري از پراكندي در نتائج آزمایش، صورت گرفته ولی ميزان سطح مقطع فولاد در هر نمونه تغيير می‌کند.

در يكى از نمونه‌ها برای بررسی عملکرد زيانه‌اي فولاد تحت تأثير برش (Dowel Action) از ميلگردهای قائم نيز (با خم ۹۰ درجه در انتهای به منظور تأمین مهاری لازم)، بهره‌گرفته شده است.



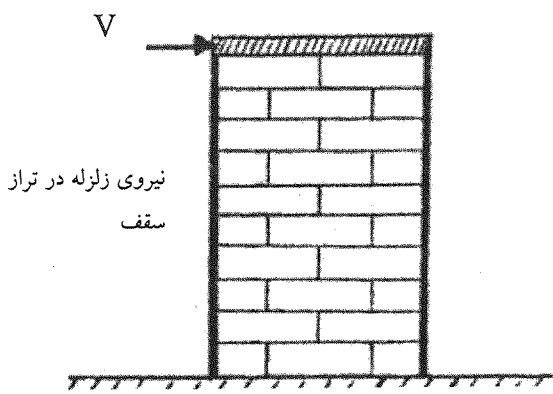
شکل (۴) ابعاد و اندازه‌های نمونه بنایی برای آزمایش مقاومت برشی.



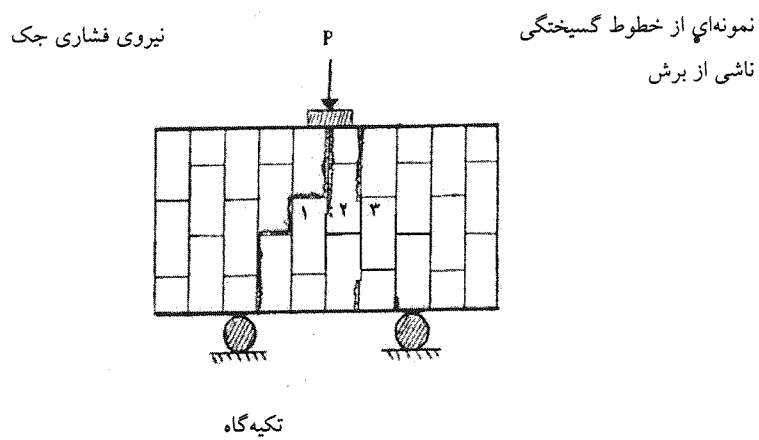
شکل (۵) میلگردهای تسلیح نمونه‌های بنایی در برابر برش.

طبق قانون دوم نیوتون نیروی ناشی از زلزله به جرم وارد می‌گردد. بنابراین به هنگام بروز زلزله شتاب قابل توجهی در تراز سقف ساختمانها (که جرم زیادی وجود دارد) جذب می‌گردد، و نیروی ناشی از آن به صورت برش (نیروهای جانبی) بر دیوارها اثر می‌نماید.

دیوار شکل (۶) را می‌توان به صورت یک تیر طره تصور نمود که نیروی برشی وارد برآن توسط مقاومت برشی ملات و آجر و مقاومت کششی میلگردهای افقی عرق شده در درز ملات و عملکرد زبانه‌ای میلگردهای قائم آن تحمل می‌گردد. [۲۱] بنابراین به منظور بررسی مقاومت برشی نمونه‌ها، از الگوی شکل (۷) استفاده شده که میلگردهای افقی در نمونه به نوعی نقش تنگها را در الگوی مذکور در واقع نمونه‌ای از تیر دوسر مفصل می‌باشد که نیروی متتمرکز P در وسط دهانه آن اثر نموده است، و از آنجا که دهانه تیر یا به عبارت دیگر فاصله تکیه‌گاهها کم (حدود ۳۵۰ میلیمتر) و ارتفاع تیر زیاد است، عملاً در تیر برش حاکم می‌گردد.



شکل (۶) چگونگی اثرنیروی زلزله بر دیوار.

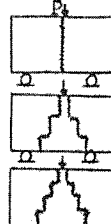
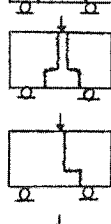
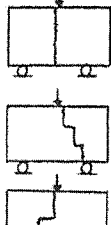
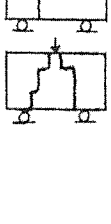
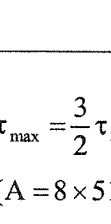
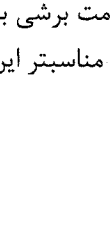


شکل (۲) الگویی جهت تعیین مقاومت برشی نمونه‌های بنایی در آزمایش پرس:

۳- بحث و بررسی

نتایج آزمایش به شرح جدول (۱) و نمودار شکل (۸) قابل بحث و بررسی است. ملاحظه می‌شود که نمونه‌ها با اشکال گوناگون و با خطوط گسیختگی متفاوتی توان باربری از دست داده و دچار گسیختگی شده‌اند. اگر فشار عمود بر درز ملات در قطعه بنایی قابل توجه نباشد، گسیختگی به صورت افقی و در درز ملات اتفاق می‌افتد. همانگونه که در جدول مشهود است گسیختگی در نمونه غیرمسلح که تحت تأثیر فشار عمودی کم می‌باشد، در درز ملات ظاهر گردیده ولی نمونه‌های مسلح با میگردهای با قطر کم (۶) عملکرد مناسب داشته و خطوط گسیختگی در آنها به صورت مورب ظاهر گردیده است. با افزایش قطر میگردها و یا انتخاب نوع آجدار به دلیل اندک بودن فشار عمودی بر قطعه بنایی و عدم کارائی لازم برای فولاد، مجدداً گسیختگی‌ها به صورت برش درز ملات ظاهر شده و مقاومت پوشی به میزان قابل توجه افت کرده است.

جدول (۱) نتایج آزمایش نمونه‌های بنایی مسلح برای تعیین مقاومت برشی.

نمونه	مقدار نیروی (P) کیلوگرم	مقدار تنش برشی بیشینه (τ_{\max}) برسانتمتر مربع	میزان فولاد افقی $\rho = \frac{A_s}{A_m}$	اشکال گوناگون گسیختگی	نحوه گسیختگی	وضعیت فولادگذاری
						نحوه گسیختگی
۱	۲۰۵۰	۳/۷	۰		برش افقی در امتداد درز ملات	غیرمسلح
۲	۴۱۰۰	۷/۵	٪۰/۴		برش مایل از محل ورودبار P به طرف تکیه‌گاهها	یک میلگرد ساده افقی (ϕ6)
۳	۵۲۰۰	۹/۵	٪۰/۸		برش مایل از محل ورودبار P به طرف تکیه‌گاهها	دومیلگرد ساده افقی (ϕ6)
۴	۶۷۵۰	۱۲/۳	٪۱/۱		قسمتی به صورت برش افقی و قسمتی مایل	(ϕ8) دومیلگرد ساده افقی
۵	۶۷۵۰	۱۲/۳	٪۱/۴		قسمتی به صورت برش افقی و قسمتی مایل	(ϕ8) دومیلگرد ساده افقی
۶	۴۰۵۰	۷/۴	٪۲/۳		برش افقی در امتداد درز ملات	دومیلگرد ساده افقی (ϕ10)
۷	۴۸۰۰	۸/۷	٪۰/۷ آجردار		برش مایل از محل ورودبار P به طرف تکیه‌گاهها	یک میلگرد آجردار افقی (ϕ8)
۸	۴۵۰۰	۸/۲	٪۰/۴ آجردار		برش به صورت قسمتی افقی و قسمتی مایل	دومیلگرد آجردار افقی (ϕ8)
۹	۵۰۰۰	۹/۱	٪۰/۴ قائم ٪۰/۴ افقی		برش مایل از محل ورودبار P به طرف تکیه‌گاهها	یک میلگرد ساده افقی (ϕ6) و چهارمیلگرد ساده افقی (ϕ8) قائم

$$\tau_{\max} = \frac{3}{2} \tau_{av} = \frac{3}{2} \cdot \frac{V}{A} = \frac{3}{2} \frac{P}{2} \cdot \frac{1}{A}$$

$$(A = 8 \times 51.5 \text{ cm}^2)$$

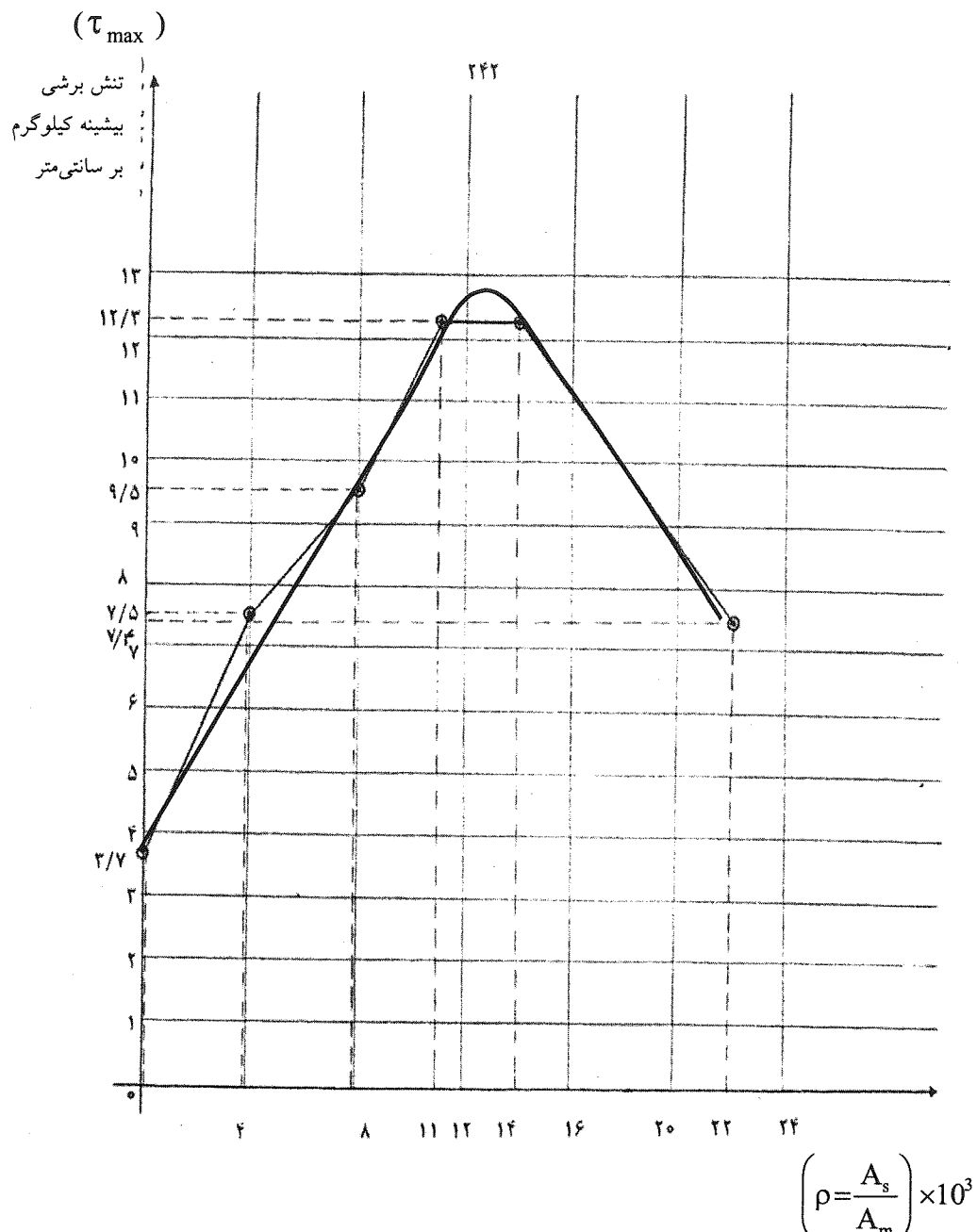
= سطح مقطع فولاد افقی یا قائم - A_s

= سطح مقطع قطعه بنایی عمود بر امتداد فولادگذاری - A_m

= سطح درز ملات (در امتداد فولادگذاری) - A

= نیروی برشی مؤثر بر قطعه بنایی - V

در نمونه‌ای که فولادگذاری قائم نیز اجرا شده است در مقایسه با نمونه مشابه از نظر فولادگذاری افقی، مقاومت برشی به میزان ۲۰٪ افزایش یافته است که علت آن را می‌توان به عملکرد زبانه‌ای فولاد قائم مربوط دانست، که در شرایط مناسبتر این افزایش مقاومت تا ۳۰٪ نیز می‌رسد.



A_s = سطح مقطع فولاد افقی

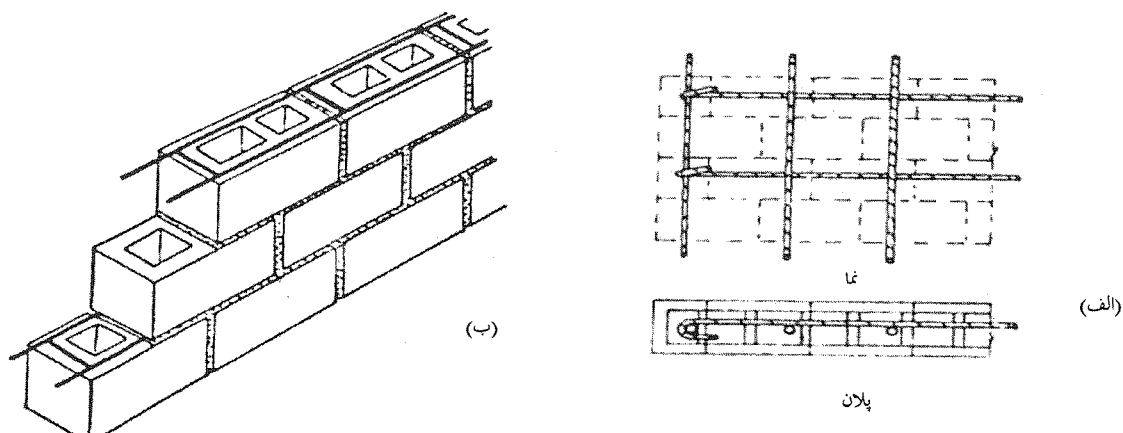
A_m = سطح مقطع قطعه بنائی عمود بر امتداد فولادگذاری

شکل (۸) نمودار مقاومت برشی نمونه‌های بنائی در رابطه با درصد فولادگذاری افقی (فولاد ساده).

ع- نتیجه‌گیری

نظر به نتایج مندرج در جدول و نمودار، ملاحظه می‌شود که افزایش مقاومت برشی تا میزان بیش از ۲۰٪ در نمونه‌های مسلح نسبت به نمونه غیرمسلح حاصل آمده است و می‌توان چنین نتیجه گرفت که چنانچه فشار عمد بر درزهای ملات در دیوار بنایی به اندازه کافی باشد استفاده از میلگردھای افقی در درز ملات به ویژه زمانی که دیوار در معرض زلزله باشد، مقاومت برشی بنایی را به نحو قابل توجهی افزایش داده و گسیختگی نیز در آن حالت به صورت کششی قطری خواهد بود. افزایش

مقاومت برشی در چنین شرایطی به شرط رعایت مهاری کافی میگردها در ملات و دقت در اجرای بنایی در شرایط بسیار مناسب، حتی به میزان ۳۰۰٪ امکان پذیر است. [۶,۷] بنابراین استفاده از این روش بسیار مناسب و اقتصادی است. شکل (۹) نمونه هایی از تسلیح دیوارهای بنایی در درز ملات را نشان می دهد.



شکل (۹) فولادگذاری در درزهای ملات.

با توجه به حجم بالای ساخت و سازهای بنایی در روستاهای کوچک و متوسط در کشورما، اهمیت و ضرورت استاندارد کردن این روش در ساخت بنایهای بسیار زیاد است.

سپاسگزاری

این مقاله در راستای طرح های مرتبط با برنامه قطب علمی گروه آبیاری و آبادانی دانشکده کشاورزی دانشگاه تهران و با استفاده از بودجه مربوط به قطب تهیه و تنظیم گردیده است که بدینوسیله تشکر و تقدیر می گردد.

مراجع

- [۱] عبدالریف آبادی، (هوشمند)، "زلزله و ساختمانهای متدالول". مرکز تحقیقات ساختمان و مسکن، (شهریور ۱۳۶۳).
- [۲] مقدم، (حسن)، "طرح لرزه ای ساختمانهای آجری". مؤسسه انتشارات علمی دانشگاه صنعتی شریف، (۱۳۷۳).
- [۳] "مجموعه سخنرانیهای سمینار آموزشی اثرات زلزله در ساختمانهای متعارف". مرکز تحقیقات ساختمان و مسکن، (مهرماه ۱۳۶۶).
- [۴] Hendry, A. W. Sinha, B. P., and Davies, S.r. "Load Bearing Brickwork Design", (1987).
- [۵] Lenczner David, "Elements of Loadbearing Brickwork", (1972).
- [۶] "International Recommendation for Design and Erection of Unreinforced and Reinforced Masonry Structures", CIB Publication Rotterdam, (1987).
- [۷] Amrhein, James E. "Reinforcing Steel in Masonry Details, Construction, Specifications". Masonry Institute of America, Los Angeles, (1979).
- [۸] "Journal of Structural Engineering", Structural Division, American society of civil Engineers, Vol. 117 No.6, (Jun. 1991).